

МИНОБРНАУКИ РОССИИ

Федеральное государственное бюджетное образовательное учреждение  
высшего образования

**«САРАТОВСКИЙ НАЦИОНАЛЬНЫЙ ИССЛЕДОВАТЕЛЬСКИЙ  
ГОСУДАРСТВЕННЫЙ УНИВЕРСИТЕТ ИМЕНИ Н.Г.ЧЕРНЫШЕВСКОГО»**

Кафедра Математической физики и вычислительной математики

---

**Вариативность алгоритмизации численного решения  
интегральных уравнений**

---

**АВТОРЕФЕРАТ БАКАЛАВРСКОЙ РАБОТЫ**

студента 4 курса 411 группы

направление 01.03.02 — Прикладная математика и информатика

механико-математического факультета

Колган Артура Сергеевича

Научный руководитель  
доцент, к.ф.-м.н., доцент

Д. В. Поплавский

Зав. кафедрой  
д.ф.-м.н., профессор

В. А. Юрко

Саратов 2024

**Введение.** Интегральные уравнения являются важным инструментом в математическом моделировании разнообразных процессов, происходящих в природе и технике. Их применение охватывает такие области, как физика, химия, биология, экономика и инженерное дело. Ввиду сложности аналитического решения интегральных уравнений особое значение приобретает разработка эффективных численных методов их решения. Цель работы. Разработка и программная реализация на языке Python вариативного алгоритма численного решения интегральных уравнений методом резольвент, который бы учитывал специфические особенности различных типов интегральных уравнений и условий их применения.

**Задачи.** Исследование теоретических основ интегральных уравнений и методов их численного решения. Разработка вариативного алгоритма численного решения интегральных уравнений методом резольвент. Реализация разработанного алгоритма в программном обеспечении на языке Python.

Структура бакалаврской работы: Первая глава посвящена теоретической основе интегральных уравнений. Во второй главе рассматриваются численные методы решения интегральных уравнений. В третьей главе представлена вариативность алгоритмизации численного решения интегральных уравнений. В четвёртой - программная реализация и численные эксперименты.

**Основное содержание работы.** Рассматриваются основные типы линейных интегральных уравнений второго рода:

Фредгольма -

$$x(t) = \lambda \int_a^b Q(t, s)x(s)ds + f(t) \quad (1.2)$$

и Вольтерра —

$$x(t) = \lambda \int_a^t Q(t, s)x(s)ds + f(t). \quad (1.3)$$

Заданная функция  $f(t)$  — свободный член - и неизвестная функция  $x(t)$  — решение - в этих уравнениях зависят от переменной  $t$ , изменяющейся на отрезке  $[a, b]$ . Функция двух переменных  $Q(t, s)$ , называемая ядром интегрального уравнения, определяется на множестве точек квадрата  $[a, b] \times [a, b]$

в случае интегрального уравнения Фредгольма (рис.1) и треугольника  $a \leq s \leq t \leq b$  в случае уравнения Вольтерра (рис.2).

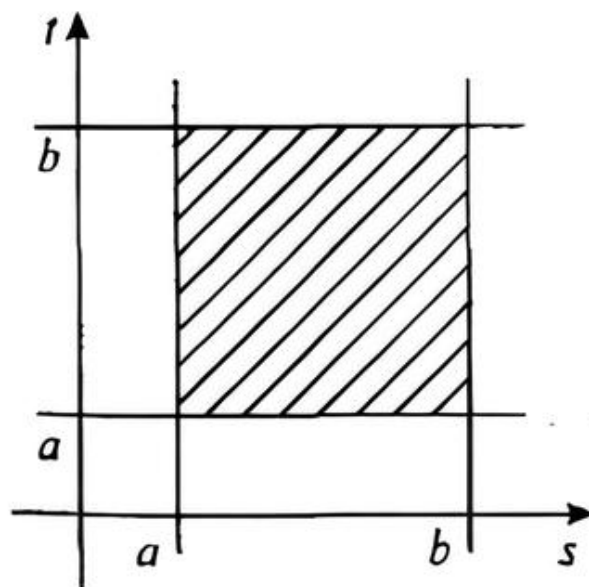


Рисунок 1

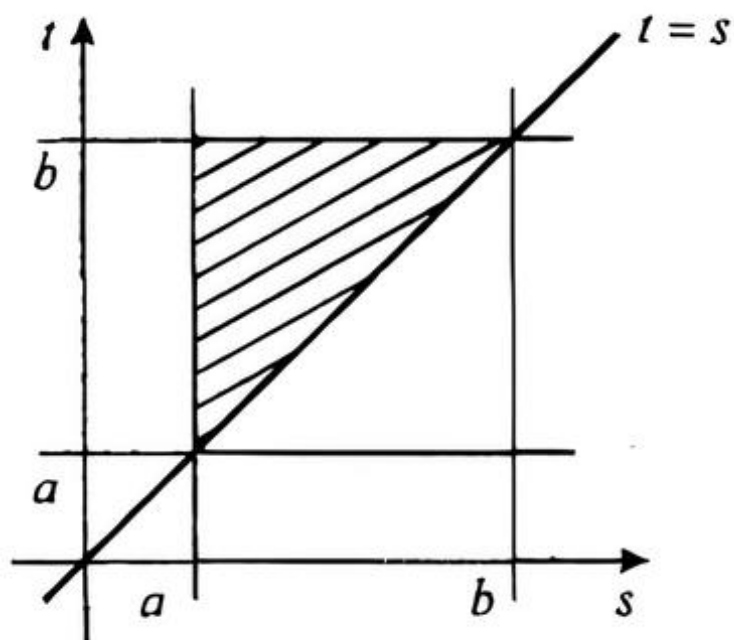


Рисунок 2

Также приведено необходимое определение вырожденного ядра интегрального уравнения, для решения интегральных уравнений.

**Определение 1** Ядро  $K(x, t)$  интегрального уравнения (1.2) называется вырожденным, если оно может быть представлено в виде

$$K(x, t) = \sum_{k=1}^n p_k(x)q_k(t). \quad (2.16)$$

В разделе «Методы численного решения интегральных уравнений» разбираются такие методы как:

- Квадратурный метод решения интегральных уравнений
- Метод последовательных приближений
- Решение уравнений с вырожденным ядром
- Квадратурно-итерационный метод построения резольвент

Все методы тщательно разбирались с постановки решения, а также были приведены некоторые примеры, показывающие различия в сходимости, в за-

зависимости от типа интегрального уравнения.

Как пример решение интегрального уравнения Фредгольма:

$$y(x) = \sin \pi x + \frac{1}{2} \int_0^1 y(t) dt.$$

и решение интегрального уравнения Вольтерра:

$$y(x) = 1 - \int_0^x (x - t)y(t) dt$$

(Рисунок 3) - Решение уравнения и сходимость метода для уравнения Фредгольма.

(Рисунок 4) Решение уравнения и сходимость метода для уравнения Вольтерра.

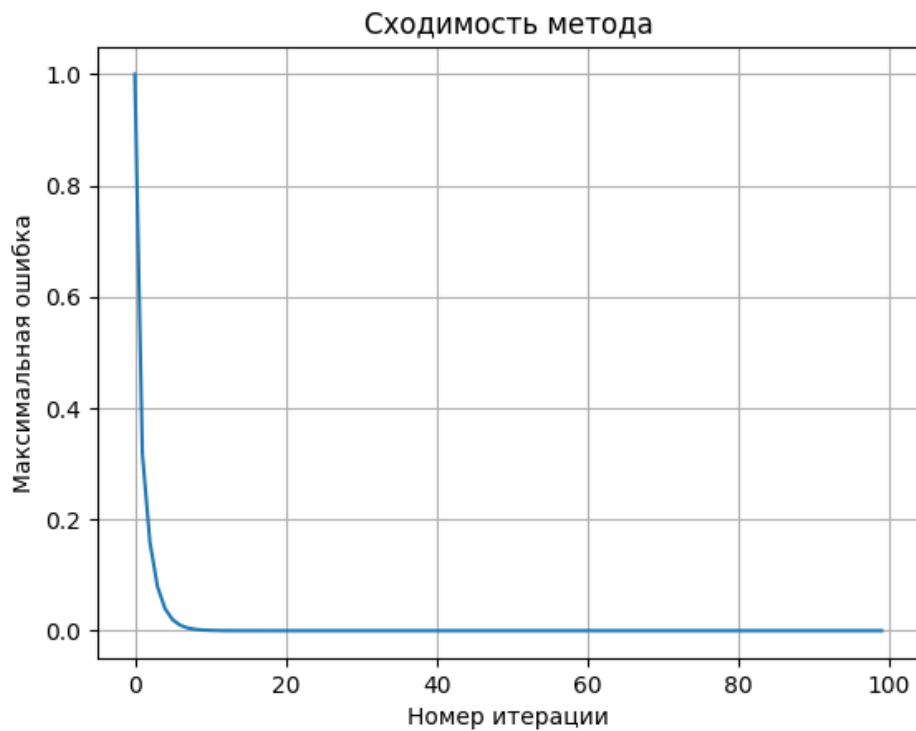


Рисунок 3

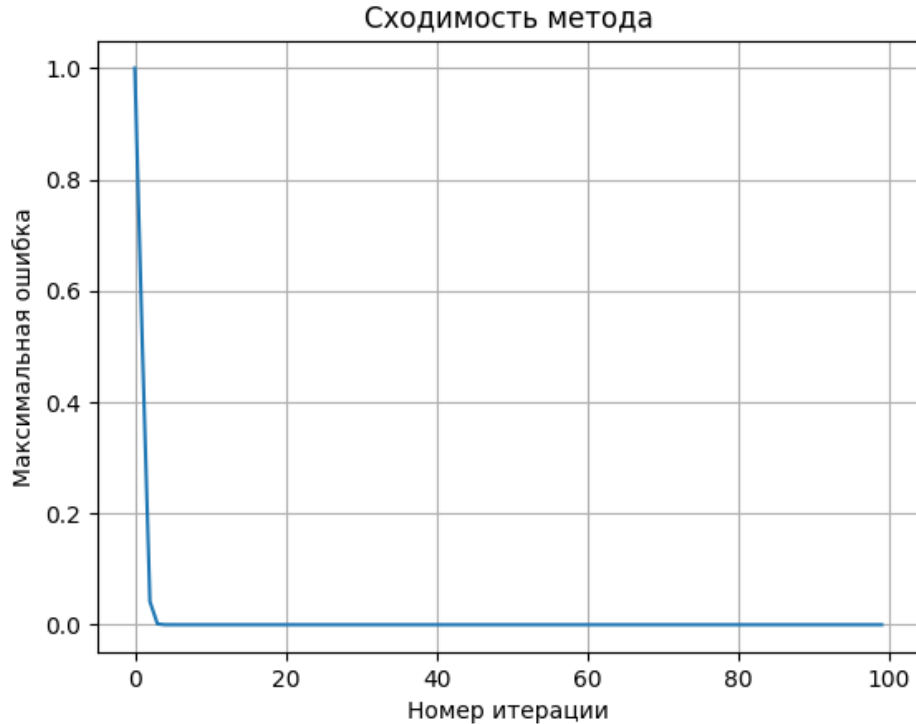


Рисунок 4

Как можно заметить график сходимости метода у этих двух уравнений разный, для уравнения Фредгольма на десятой итерации максимальная ошибка плавно спускается к 0, а у уравнения Вольтера максимальная ошибка с 0,04 резко падает почти до нуля. Связанно это с тем, что структура уравнения Вольтерра, где границы интегрирования зависят от  $x$ , может приводить к тому, что ошибка быстро уменьшается на начальных итерациях. Это связано с тем, что на первых итерациях мы вычисляем интеграл по очень маленькому интервалу, что позволяет получить более точное приближение. А также метод трапеций в сочетании с методом последовательных приближений для уравнения Вольтерра дает более быструю сходимость на начальных итерациях.

В разделе «**Вариативность алгоритмизации численного решения интегральных уравнений**» мы рассмотрели описание подходов к вариативности решения интегральных уравнений.

Такие, как:

- Выбор метода решения
- Выбор метода квадратур
- Выбор метода регуляризации
- Адаптивная квадратура
- Комбинирование методов
- Разработка специализированных методов

В разделе «**Программная реализация метода**» были рассмотрены все необходимые шаги, для реализации метода из главы о построении резольвенты квадратурно-итерационным методом. А также пояснили все шаги, реализовав код на примере решения следующего интегрального уравнения:

$$x(t) - 0,5 \int_0^1 \exp^{t-s} x(s) ds = t(1 - t)$$

. Программа решает интегральное уравнение второго рода с помощью квадратурно-итерационного метода.

Основные этапы программы:

- Определение функции ядра  $\mathbf{Q}(\mathbf{t}, \mathbf{s})$  и правой части  $f(t)$  интегрального уравнения.
- Построение квадратурных весов и узлов.
- Проверка спектрального радиуса матрицы для проверки условий сходимости.
- Итерационный процесс для вычисления приближенной резольвенты методом Шульца.
- Решение интегрального уравнения и визуализация результатов.

Шаги программы:

Импортируем библиотеки `numpy` и `matplotlib` — библиотеки для работы с числовыми массивами и построения графиков. `scipy.sparse.linalg.eigs` — функция для вычисления нескольких собственных значений и собственных

векторов разреженных матриц.

```
import numpy as np
import matplotlib.pyplot as plt
from scipy.sparse.linalg import eigs
```

Здесь определяется функция ядра  $Q(\mathbf{t}, \mathbf{s}) = \exp^{t-s}$

В контексте интегрального уравнения Фредгольма ядро определяет, как входная функция трансформируется в выходную.

```
def Q(t, s):
    return np.exp(t - s)
```

Определение правой части  $f(t) = t(1 - t)$

Эта функция представляет известное значение, к которому стремится решение интегрального уравнения.

```
# Определим правую часть f(t)
def f(t):
    return t * (1 - t)
```

Функция для построения вектора квадратурных весов для равномерной сетки. Здесь используется простая формула прямоугольных квадратур.

```
# Функция для построения матрицы квадратурных весов
def build_quadrature_weights(a, b, n):
    return np.ones(n) * (b - a) / n
```

Функция для построения узлов квадратурной сетки, равномерно распределенных на интервале  $[a, b]$

```
# Функция для построения узлов квадратурной сетки
def build_quadrature_nodes(a, b, n):
    return np.linspace(a, b, n)
```



Функция для вычисления спектрального радиуса матрицы. Спектральный радиус — это максимальное по модулю собственное значение матрицы. Используется функция `eigs` из `scipy`, которая вычисляет несколько собственных значений и соответствующих собственных векторов.

```
# Функция для вычисления спектрального радиуса матрицы
(с использованием scipy.sparse.linalg.eigs)
def spectral_radius(matrix, k=6):
    eigenvalues, _ = eigs(matrix, k=k)
    return max(abs(eigenvalues))
```

Определяются узлы и веса квадратурной сетки на интервале  $[a, b]$  с  $n$  узлами. Параметр  $\lambda$  используется в интегральном уравнении.

```
# Основная функция для решения интегрального уравнения
def solve_integral_equation(a, b, n,
    lambda, tol=1e-10, max_iter=1000):
    nodes = build_quadrature_nodes(a, b, n)
    weights = build_quadrature_weights(a, b, n)
```

Инициализация и построение матрицы  $\mathbf{Q}$  размером  $n \times n$  по заданному ядру  $Q(t, s)$

```
# Инициализация матриц Q
Q_matrix = np.zeros((n, n))
for i in range(n):
    for j in range(n):
        Q_matrix[i, j] = Q(nodes[i], nodes[j])
```

Проверка условия спектрального радиуса для матрицы  $\text{diag } \lambda \mathbf{A} \mathbf{Q}$ , где  $\mathbf{A} = \text{diag}(w_{weights})$ . Если условие не выполняется, итерационный процесс не сходится, и функция выдает ошибку.

```
# Проверка условия спектрального радиуса
if spectral_radius(lambda * np.dot(Q_matrix,
    np.diag(weights))) >= 1:
    raise ValueError("Условие спектрального
```

радиуса не выполнено.

Не удается вычислить разрешающую способность.")

Итерационный процесс Шульца для нахождения обратной матрицы. Начальное приближение  $U_0 = E$ . На каждой итерации вычисляется ошибка, и процесс продолжается до тех пор, пока ошибка не станет меньше заданной точности `tol`.

```
# Итерационный процесс для вычисления резольвенты (Шульц)
E = np.eye(n)
U_k = E.copy() # Начальное приближение U_0 = E
errors = []

for k in range(max_iter):
    Psi_k = E - (E - lambd * np.dot(Q_matrix,
    np.diag(weights))) @ U_k
    U_k1 = U_k + U_k @ Psi_k

    error = np.linalg.norm(U_k1 - U_k)
    errors.append(error)

    if error < tol:
        break
    U_k = U_k1
```

Вычисление матрицы резольвенты  $R = QU_k$ .

```
R_matrix = Q_matrix @ U_k
```

Решение интегрального уравнения. Вектор  $f$  вычисляется в узлах квадратурной сетки. Решение уравнения  $(E - \lambda AR)x = f$  находится с помощью `np.linalg.solve`.

```
# Решение интегрального уравнения
f_values = np.array([f(node) for node in nodes])
x = np.linalg.solve(
```

```

        np.eye(n) - lambd * np.dot(R_matrix,
        np.diag(weights)), f_values
    )

    return nodes, x, R_matrix, errors

```

Основной скрипт для запуска решения интегрального уравнения. Определяются параметры задачи, запускается функция решения, а затем результаты визуализируются с помощью matplotlib. Ошибки на каждой итерации также визуализируются для оценки сходимости итерационного процесса.

```

# Пример использования
a, b = 0, 1 # Интервал интегрирования
n = 10 # Количество узлов квадратурной сетки
lambd = 0.5 # Параметр lambda

try:
    nodes, solution, R_matrix,
    errors = solve_integral_equation(a, b, n, lambd)

    # Визуализация результатов
    plt.figure(figsize=(12, 8))

    # График исходной функции f(t)
    plt.subplot(3, 1, 1)
    t = np.linspace(a, b, 100)
    plt.plot(t, f(t), label="f(t)")
    plt.title("Исходная функция f(t)")
    plt.legend()

    # Решения интегрального уравнения
    plt.subplot(3, 1, 2)
    plt.plot(nodes, solution, "o-", label="Решение x(t)")
    plt.title("Решение интегрального уравнения")

```

```

plt.legend()

# График резольвенты R(t, s; lambda) для t = nodes[0]
plt.subplot(3, 1, 3)
for i in range(n):
    plt.plot(nodes, R_matrix[i, :],
             label=f"R({nodes[i]:.2f}, s; lambda)")
plt.title("Резольвента R(t, s; lambda)")
plt.legend()

plt.tight_layout()
plt.show()

# Вывод матрицы ошибок
plt.figure(figsize=(8, 6))
plt.plot(errors, "o-", label="Ошибка на каждой итерации")
plt.title("Сходимость итерационного процесса")
plt.xlabel("Номер итерации")
plt.ylabel("Ошибка")
plt.legend()
plt.yscale("log")
plt.show()

except ValueError as e:
    print(e)

```

Программа выдает следующие результаты

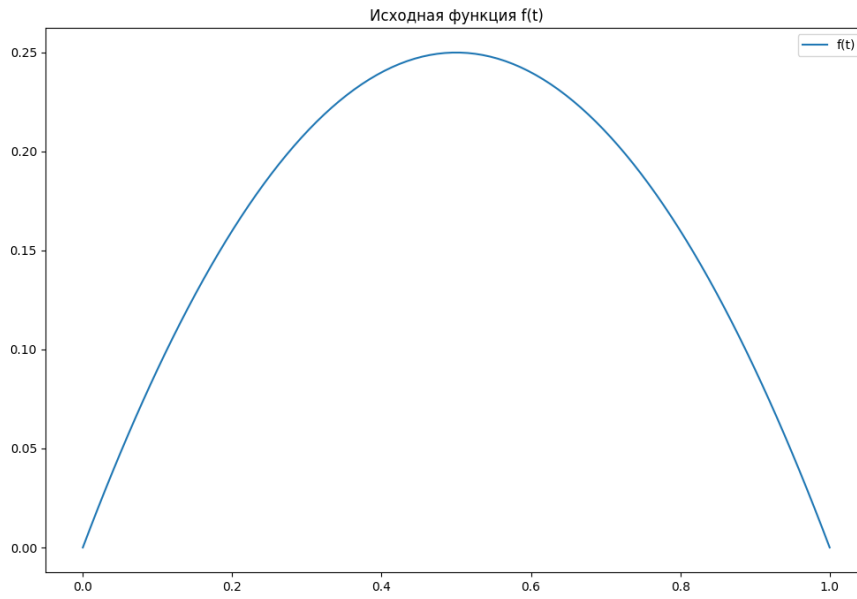


Рисунок 5

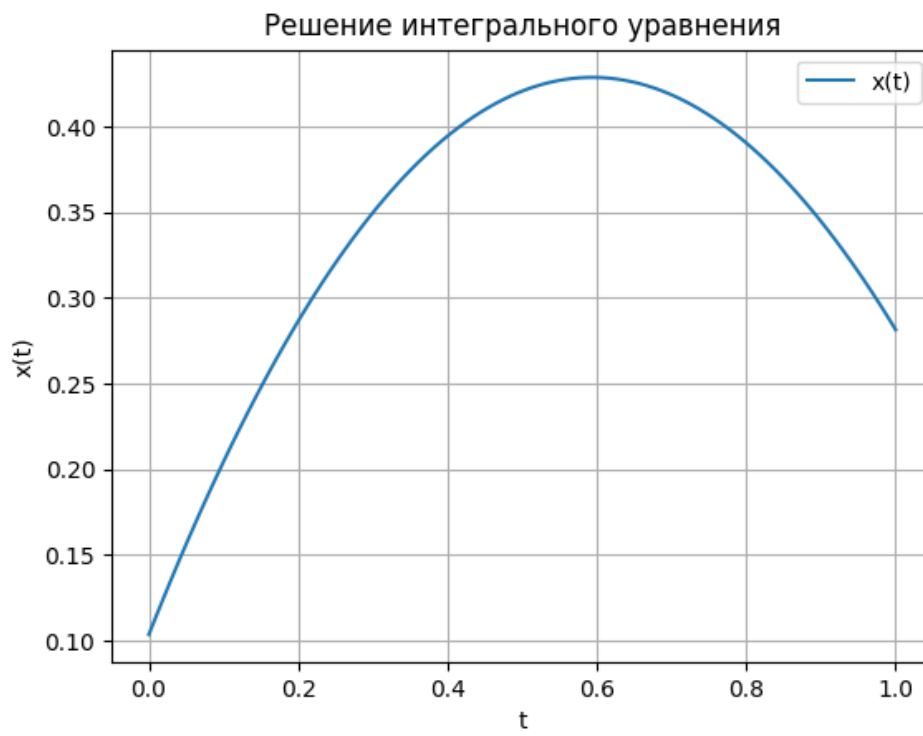


Рисунок 6

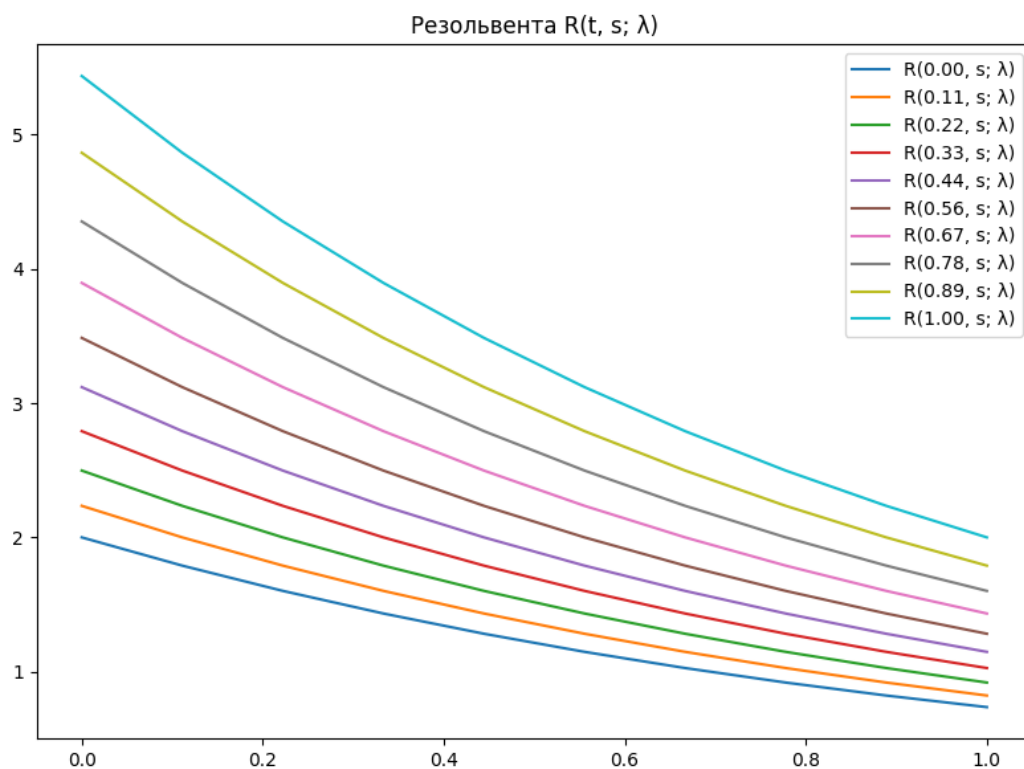


Рисунок 7

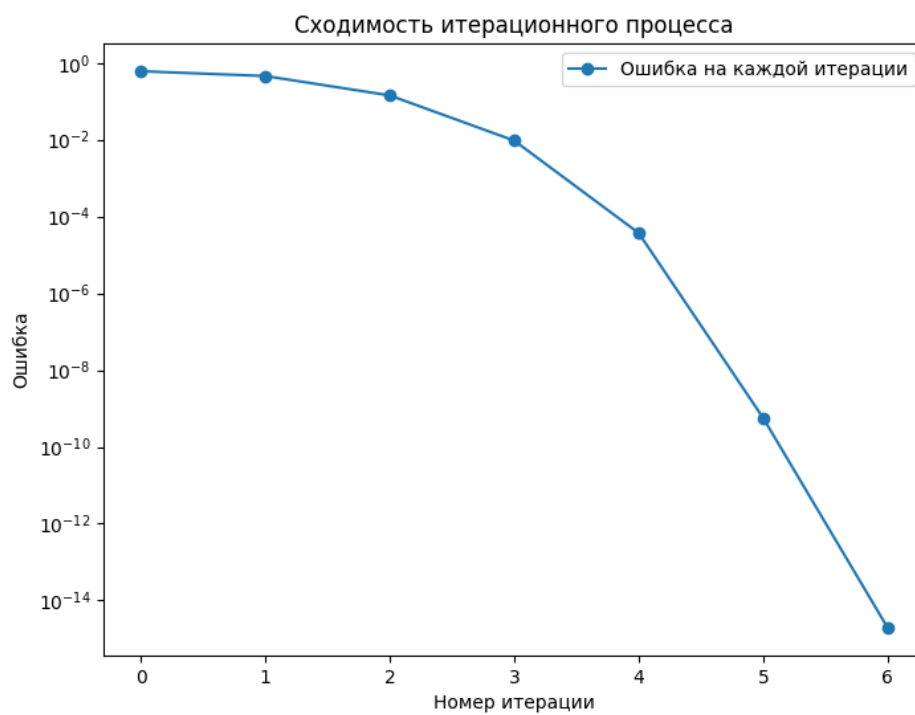


Рисунок 8

**Заключение.** Таким образом, были рассмотрены основные определения и классификации интегральных уравнений, включая уравнения Фредгольма и Вольтерра, а также уравнения с вырожденным ядром. Это позволило заложить необходимую теоретическую базу для дальнейшего исследования методов их решения. Разработана программная реализация предложенных методов на языке Python, включая создание функций для построения квадратурной сетки и весов, вычисления спектрального радиуса и итерационного процесса для вычисления обратной матрицы.